

## РАДИУСИ НА ЯДРАТА

### 1. Увод

Радиусите на ядрата не са точно дефинирани величини: ядрета не са твърди сфери с резки граници.

Радиусите на атомите и ядрата се определят „операционно” - радиусът се явява параметър в теоретичен израз, който се сравнява с експериментални данни. Той *ще зависи от приетия модел* (опростяващи предположения!).

Пример: радиус на атом, дефиниран като най-големият среден радиус на възбудените електронни състояния или като средното разстояние между атомите в йонните съединения на атома.

Ядрената плътност и ядреният потенциал са с проста пространствена зависимост – те са приблизително постоянни до определено късо разстояние, извън което те почти изведнаж рязко спадат до нула.

Формата на ядрата може да се характеризира с два параметъра:

\* *среден радиус*

\* *дифузна дебелина*

За ядра, които нямат сферична форма, се въвеждат допълнителни параметри като деформация или отклонение от аксиалността.

Определяният радиус на ядрото ще зависи от вида на експеримента.

\* електромагнитното взаимодействие, ще получаваме *разпределението на зарядите в ядрото*: разсейване на електрони с висока енергия от ядра, мюонни рентгенови спектри, разлика в енергиите на огледални ядра.

\* Ако експериментът се основава на силното ядрено взаимодействие резултатът ще се получава *разпределението на ядрената материя* (опити по разсейване на бързи неутрони, пионни рентгенови лъчи или ръдърфордовото разсейване).

Опитите на Ръдърфорд (1905 г.) дават  $R \sim 10^{-14}$  m

### 2. Разпределение на ядрения заряд

Два метода с исторически интерес:

\* метод на огледалните ядра, използван за определяне на радиусите на ядрата през 30-те и 40-те години

\* методът на мезорентгеновите спектри, разработен по-късно, когато има ускорители със снопове от мюони

*Метод на огледалните ядра* - основава се на пряко измерване на разликата в кулоновата енергия на две ядра. При леки  $\beta^+$ -радиоактивни ядра протон от матерното ядро се превръща в неутрон на дъщерното и разликата в масите на двете ядра ще се дължи само на разликата в кулоновата енергия при намаляване на протоните от  $Z$  на  $Z - 1$  (защото ядрените сили са зарядово независими). Превръщането на протон в неутрон ще се промени само кулоновата енергия на отблъскване.

Защо се избират *огледални ядра*? В тежки ядра при бета-разпада не се получава огледално ядро – напр. при  ${}_{92}^{228}\text{U}_{136}$  92-тия протон се превръща в 137 неутрон и “орбитата” на 92 протон няма да е същата като тази на 137 неутрон. Разликата в масите на двете ядра ще се дължи преди всичко на разликата в нивата. *Огледални ядра* се наричат тези, при които броят на неутроните на едното ядро е

равен на броя на протоните на другото. Такива могат да бъдат само леки ядра и те са частен случай на изобарни ядра, напр.  ${}^{11}_6\text{C}_5$  и  ${}^{11}_5\text{B}_6$ .

Енергията на свързване на едно ядро е

$$B = a_{\text{об}}A - a_{\text{пов}}A^{2/3} - a_{\text{кул}}Z^2/A^{1/3} - a_{\text{сим}}(N-Z)^2/A + \delta(Z, N)$$

и разликата в енергиите на свързване на две огледални ядра ще се дължи само на промяната в кулоновия член при намаляване на  $Z$  с единица при  $\beta^+$ -разпадането. От дефиницията за огледални ядра  $N = Z - 1$  и като знаем, че  $N = A - Z$

$$A = 2Z - 1$$

В енергията на свързване има два члена, зависещи от  $Z$  - кулоновото отблъскване и енергията на симетрия. Разликата от енергията на симетрия за две огледални ядра е нула, тъй като  $A = 2Z - 1$ :

$$\begin{aligned} a_{\text{сим}}A^{-1}\{(A - 2Z)^2 - [A - 2(Z - 1)]^2\} = \\ = a_{\text{сим}}A^{-1}[(2Z - 1 - 2Z)^2 - (2Z - 1 - 2Z + 2)^2] = 0 \end{aligned}$$

Разликата в енергията на свързване ще идва само от разликата в кулоновия член

$$\Delta B = B(A, Z - 1) - B(A, Z) =$$

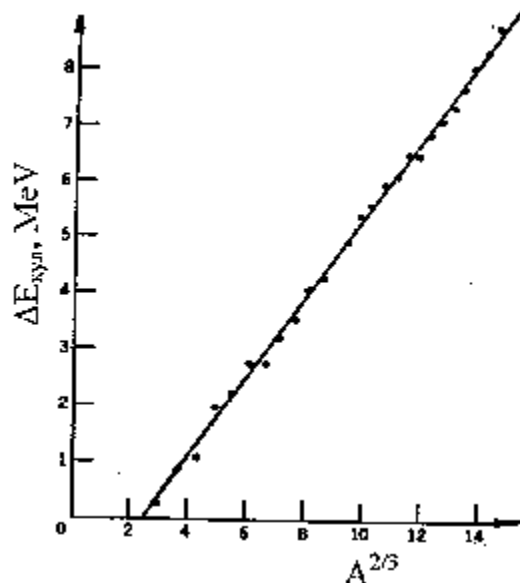
$$= \frac{3}{5} \frac{k_0 e^2}{r_0 A^{1/3}} [Z^2 - (Z - 1)^2] = \frac{3}{5} \frac{k_0 e^2}{r_0} A^{2/3}$$

Разликата в кулоновата енергия може да се определи чрез измерване енергията на  $\beta^+$ -разпадането  $Q_{\beta^+}$  - определя се експериментално от максималната енергия на позитроните  $T_{\beta^+}^{\text{max}}$ .

$$T_{\beta^+}^{\text{max}} = Q_{\beta^+} = c^2 [M(Z, A) - M(Z - 1, A) - m_0] =$$

$$= c^2 [-(m_n - m_p) - m_0] + \Delta B = \Delta B - 3,5m_0$$

$$T_{\beta^+}^{\text{max}} = \Delta B - 3,5m_0 = \frac{3}{5} \frac{k_0 e^2}{r_0} A^{2/3} - 1,8 \text{ MeV}$$



Друг начин за измерване разликата в енергиите на свързване на огледални ядра е чрез ядрени реакции.

Например, ако ядрото  ${}_{5}^{11}\text{B}_6$  се бомбардира с протони, се получава ядрото  ${}_{6}^{11}\text{C}_5$  и се излъчва неутрон. Минималната енергия на протона, при която започва реакцията е равна на масовата разлика между  ${}_{5}^{11}\text{B}_6$  и  ${}_{6}^{11}\text{C}_5$ .

„Мезорентгенови” спектри (нива на мюонни атоми)

Мюон - частица, идентична с електрона по своето поведение и характеристики, но с маса 207 пъти по-голяма от тази на електрона. Мюоните се получават при разпадането на *пиони* (време на живот  $\tau \approx 2.10^{-8}$  s)



където  $\nu_{\mu}$  е мюонното неутрино, а  $\nu_e$  – електронното неутрино.

Мюонните снопове се формират на сравнително голямо разстояние от мишената на ускорителя, отчитайки времето на живот на пионите. Формираният и фокусиран сноп мюони пада върху мишена, в която мюоните се забавят. Когато енергиите им станат достатъчно ниски, започва залавянето им на молекулни и атомни орбити във веществото на мишената. Така се образуват *мюонни атоми*.

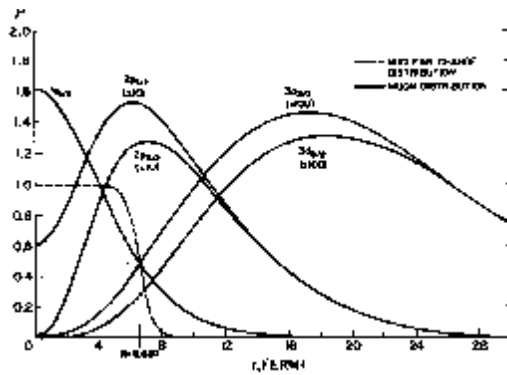
Боровият радиус

$$a_0 = \frac{\Lambda}{\alpha} \cdot \frac{1}{Z} \quad (\alpha = k_0 e^2 / \hbar c, \quad \Lambda = \hbar / m_0 c^2)$$

е обратно пропорционален на масата на електрона. При залавяне на мюон на „орбита” нейният радиус ще е 207 пъти по-малък от  $a_0$ .

При захващане от тежък атом, напр. от олово ( $Z = 82$ ), орбитата на мюона ( $n = 1$ ) ще е на разстояние

$$a_0(\mu^-) = a_0(e^-) / (207 \cdot 82) = 3.10^{-15} \text{ m} - \text{вътре в ядрото}$$



Енергията на мюонните нива е чувствителна към формата на ядрото

$$E_n(m) = -0,5m_m c^2 \alpha^2 \frac{Z^2}{n^2} = -0,5 \cdot 207 m_0 c^2 \alpha^2 \frac{Z^2}{n^2} = -13,6 \cdot 207 \frac{Z^2}{n^2}$$

$$E_n(\mu) = 18,93/n^2 \text{ MeV}$$

$$E_{10} = 189 \text{ keV}, E_9 = 230 \text{ keV}, E_8 = 300 \text{ keV}, \dots, E_2 = 4,73 \text{ MeV} \text{ и } E_1 = 18,93 \text{ MeV}.$$

Захващането става на ниво с голямо  $n$  и мюонът се спуска по нивата до основното - излъчват се рентгенови лъчи

Каскадът от рентгенови лъчи от нивото  $n = 10$  надолу ще има енергии

$$230 - 189 = 41 \text{ keV}$$

$$300 - 230 = 70 \text{ keV}$$

.....

$$18,93 - 4,73 = 14,2 \text{ MeV}$$

мюонните рентгенови спектри са в диапазона на  $\gamma$ -лъчите.  $K$ -рентгеновите лъчи, излъчвани се при преход на мюона между нивата  $2p \rightarrow 1s$  за точково ядро имат енергия 14,2 MeV.

Но определената експериментално енергия на  $K$ -линията на Pb има енергия 5,5 MeV - влияние на крайния размер на ядрото на оловото!

*Операционно определяне на радиуса* - радиусът на ядрото участва като параметър, и се определя от фитиране с експерименталните точки. Търси се минимум на функционала за всяка от точките  $P_i^{\text{експ}}$

$$c^2 = \sum_{i=1}^N [P_i^{\text{експ}} - P_i^{\text{теор}}(X_1, X_2, \dots, R, \dots, X_n)]^2,$$

за да се определи най-правдоподобната стойност за  $R$ . Тук  $X_i$  са параметрите, описващи теоретичната функция, а  $N$  – броят на експерименталните точки. С този пример се илюстрира и понятието.

От изследване на мюонните рентгенови спектри на оловото за радиуса е получена стойност

$$R_{\text{cp}}(\text{Pb}) = 1,17 \cdot 10^{-15} \sqrt[3]{208}$$

*Експерименти по разсейване на електрони*

Дължината на вълната на дьо Бройл на тези частици трябва да бъде близка до размерите на обектите - за да се „сондират“ обекти с размер 2 fm са необходими електрони с енергия не по-малка от 600 MeV.

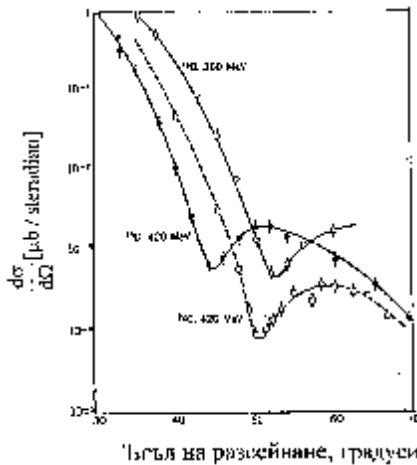
частици	кинетична енергия	дължина на вълната = $h/p$	сравнение
$\alpha$ -частици	8 MeV	5,1 fm	$(\lambda \sim R)$
протони	200 MeV	1,9 fm	$(\lambda < R)$
протони	500 GeV	$2,5 \cdot 10^{-3}$ fm	$(\lambda \ll R)$
електрони	600 MeV	2 fm	$(\lambda < R)$

$$\lambda = \frac{hc}{E} = \frac{6,6 \cdot 10^{-34} \cdot 3 \cdot 10^8}{10^8 \cdot 1,6 \cdot 10^{-19}} = 1,2 \cdot 10^{-14} \text{ m} = 1,2 \cdot 10^{-14} \text{ m} = 12 \text{ fm}$$

$$hc = 197 \text{ MeV} \cdot \text{fm}$$

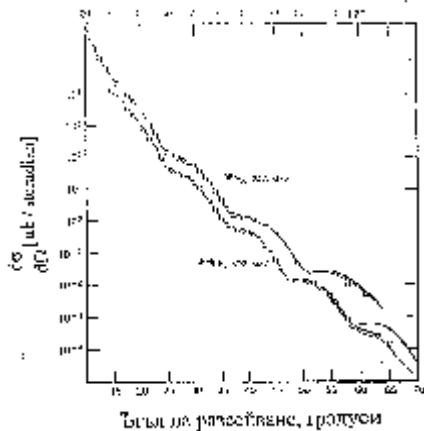
$$\lambda = \frac{hc}{E} = 2\pi \frac{197 \text{ MeV} \cdot \text{fm}}{100 \text{ MeV}} = 12 \text{ fm}$$

от



Ъглово разпределение на разсеяните електрони от  $^{16}\text{O}$  (при 360 MeV и 420 MeV и  $^{12}\text{C}$  (при 420 MeV)

Хофщатер - експерименти с електронни снопове с енергии от 100 MeV до 1 GeV. Разсеяните електрони се анализират с прецизен спектрометър, за да се отделят само еластично разсеяните от избраната мишена. Вижда се първият дифракционен минимум - мести се в зависимост от енергията на електроните и от размерите на ядрото, от което те се разсейват.



Ъглово разпределение на разсеяните електрони от  $^{208}\text{Pb}$  (при 248 MeV и 502 MeV)

Кръгъл диск с диаметър  $D$  дава първи минимум при  $\theta = \arcsin(1,22 \lambda/D)$  и за ядрения радиус на  $^{16}\text{O}$  - 2,6 fm, за  $^{12}\text{C}$  - 2,3 fm.

дифракционните минимума са плитки - причината е дифузният край на ядрото, то (няма рязка граница, за да се получи ясна дифракционна картина.

*Количествена оценка – формфактор*

Ф-лата на Ръдърфорд за разсейване на частица със заряд  $ze$  от ядро със заряд  $Ze$  е

$$\left(\frac{d\sigma}{d\Omega}\right)_R = \left(\frac{zZe^2k_0}{2T}\right)^2 \frac{1}{4\sin^4(\theta/2)} = \frac{\alpha^2 \mathbf{h}^2 c^2 z^2 Z^2}{4T^2} \frac{1}{4\sin^4(\theta/2)}$$

$$= \frac{\alpha^2 \mathbf{h}^2 c^2}{p^2 v^2} z^2 Z^2 \frac{1}{4\sin^4(\theta/2)}$$

$$4T^2 = 4 \frac{mv^2}{2} \frac{p^2}{2m} = (pv)^2$$

За  $z = 1$  (електрон) ръдърфордовото сечение става:

$$\left(\frac{d\sigma}{d\Omega}\right)_R = \frac{\alpha^2 \mathbf{h}^2 c^2}{4p^2 v^2} Z^2 \frac{1}{\sin^4(\theta/2)}$$

За бързи електрон (спин  $1/2 \mathbf{h}$  и  $v \sim c$ ) Мот извежда израза

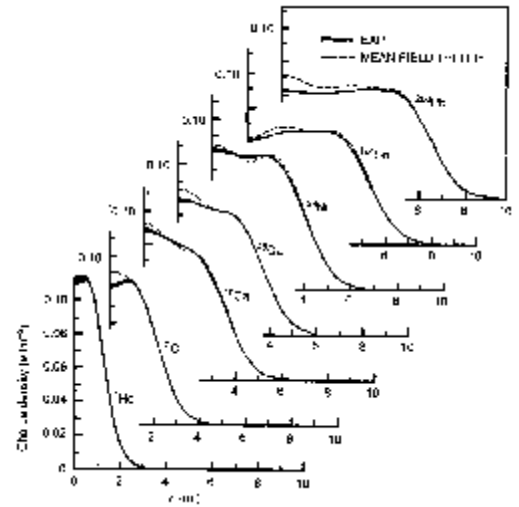
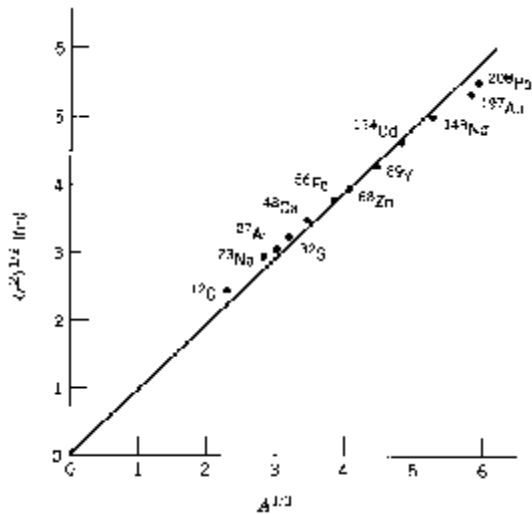
$$\left(\frac{d\sigma}{d\Omega}\right)_{\text{Mott}} = \frac{\alpha^2 \mathbf{h}^2 c^2}{p^2 v^2} Z^2 \frac{1}{4\sin^4(\theta/2)} \left[1 - \frac{v^2}{c^2} \sin^2(\theta/2)\right],$$

*сечение на Мот.*

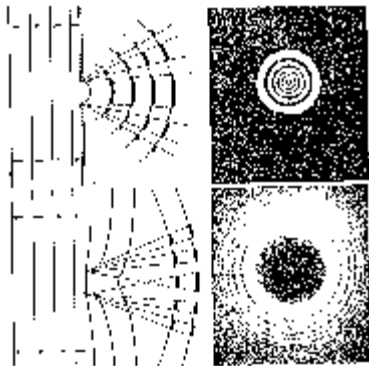
При извеждането на това сечение се предполага, че ядрото е точково ( $R = 0$ ). Прилага се теория на пертурбациите от първи порядък - коректно е само  $Z\alpha \ll 1$ , (за леки ядра, защото  $\alpha = 1/137$ ). Важно е да се отчете ненулевият размер на ядрото. В сечението се включва множител  $f(\theta)$

$$\left(\frac{d\sigma}{d\Omega}\right)_{\text{exp}} = \left(\frac{d\sigma}{d\Omega}\right)_{\text{Mott}} |f(\theta)|^2$$

$f(\theta)$  се нарича *формфактор* (множител на формата).



Еластично разсейване на електрони от  $^{12}\text{C}$ ,  $^{16}\text{O}$ ,  $^{40}\text{Ca}$ ,  $^{48}\text{Ca}$ ,  $^{58}\text{Ni}$ ,  $^{124}\text{Sn}$  и  $^{208}\text{Pb}$



При изчислението на формфактора се използва аналогията с фрауенхоферова дифракция от отвор: полученото изображение върху екран представлява Фурие-трансформацията на отвора. За разсейване на електрони от ядро отворът се замества със сферично разпределение на заряди.

Фрауенхоферова дифракция от отвор и от диск – аналогия с разсейването на електрони от сферично равномерно заредено ядро. Изображението върху екрана е Фурие-трансформация на отвора.

важен резултат - средната плътност на ядрата е почти постоянна за всички ядра. Очевидно, протоните не се събират в средата на ядрото – плътността е почти постоянна до повърхността на ядрото. Нуклеонната плътност, т.е. брой нуклеони в единица обем, е приблизително постоянна –  $A/V \sim \text{const}$ , което означава, че  $V \sim A$  и следователно  $R^3 = r_0 A$ . Това дава

$$R = r_0 A^{1/3}, \quad r_0 = 1,05 \text{ fm.}$$

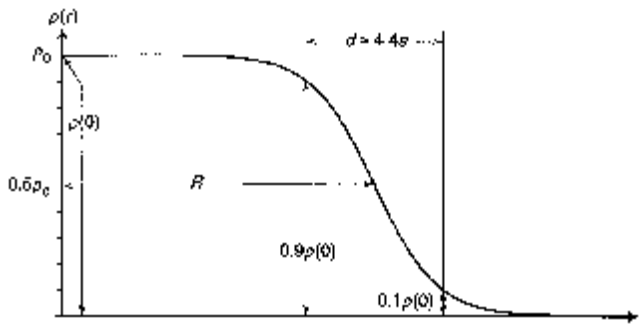
дифузна дебелина - еднаква за всички ядра ~ на 2,3-2,5 fm

средно квадратичен радиус за няколко ядра - наклонът на правата дава  $r_0 = 1,23 \text{ fm}$

Разпределението на плътността се описва с израза

$$\rho(r) = \frac{\rho_0}{1 + \exp\left(\frac{r - R_{\text{cp}}}{a}\right)}$$

$R_{cp}$  се дефинира от условието  $\rho(R_{cp})/\rho(0) = 1/2$ ,  $d$  - дифузна дебелина

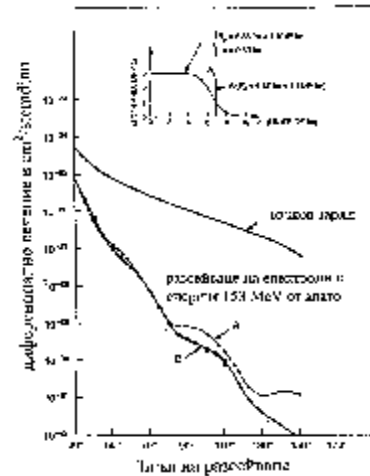


$$a = \frac{d}{2 \ln 9} = \frac{d}{4,4}$$

от дефиницията  
 $\rho(R_{cp} + d/2)/\rho(0) = 1/10$

Теоретичен вид на плътността

Експериментите по разсейване на електрони са чувствителни към формата на ядрото – показани са три теоретични разпределения: за точково ядро, за ядро с рязък край (крива А) и за ядро с дифузен край (крива В): експерименталните точки са най-близо до теоретичната крива за ядро с дифузен край.



*Изотопно отместване*

Радиалните вълнови функции на  $s$ -електроните в атомите се различават от тези на  $p$ -електроните - съществува ненулева вероятност  $s$ -електронът да бъде намерен и при много малки стойности на  $r$ , т.е. в близост до ядрото.

Средната стойност на енергията се дава с матричния елемент

$$\langle E \rangle = \int \psi_n^* V(r) \psi_n d^3r, \quad V(r) = -k_0 Z e^2 / r \text{ (точково ядро)}$$

Приближение на неточково ядро - равномерно заредена сфера с радиус  $R$ . Потенциалът в т.  $r$ , намираща се вътре в сферата ( $r < R$ ) се дава с

$$V'(r) = -\frac{k_0 Z e^2}{R} \left[ \frac{3}{2} - \frac{1}{2} \left( \frac{r}{R} \right)^2 \right], \text{ а енергията } \langle E \rangle = \int_{r < R} \psi_n^* V'(r) \psi_n d^3r$$

ще отчита промяната на енергията поради навлизане на  $s$ -електроните вътре в ядрото (при  $r < R$ ). Енергията на нивото ще се отмества с

$$\Delta E = \langle E' \rangle - \langle E \rangle.$$

(вълновите функции са същите, тъй като кинетичните енергии са еднакви). Радиалната вълнова функция за основното състояние  $1s$  е



$$\psi(r) = 2 \left( \frac{Z}{a_0} \right)^{3/2} \exp\left(-\frac{Z}{a_0} r\right)$$

заместваме в израза за  $\Delta E = \langle E' \rangle - \langle E \rangle$  и получаваме

$$\Delta E = k_0 e^2 \left( 4 \frac{Z^4}{a_0^3} \right) \int_0^R \exp\left(-2 \frac{Z}{a_0} r\right) \left[ \frac{1}{r} - \frac{3}{2R} + \frac{r^2}{2R^3} \right] r^2 dr$$

Експонентата в този интеграл клони към 1 при  $r < 10^{-15}$  m и тогава

$$\Delta E = \frac{2 k_0 Z^4 e^2}{5 a_0^3} R^2 = \frac{2 k_0 Z^4 e^2}{5 a_0^3} r_0^2 A^{2/3}$$

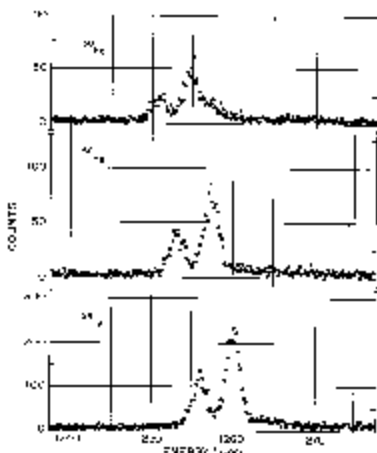
„Точково” ядро не съществува - за сравнение се използват  $K_\alpha$ -рентгеновите лъчи за два съседни изотопа  $A$  и  $A'$ . Разликата в енергиите на  $K_\alpha$ -рентгеновите лъчи е

$$\begin{aligned} \Delta E &= \\ &= E_{K_a}(A) - E_{K_a}(A') = E_{2p}(2p(A') - E_{1s}(A')) \cong E_{1s}(A') - E_{1s}(A) \end{aligned}$$

(вълновите функции на състоянието  $2p$  са почти нула в близост до ядрото)  
изотопното отместване е

$$\Delta E(A') - \Delta E(A) = \frac{2 k_0 Z^4 e^2}{5 a_0^3} r_0^2 \left[ (A')^{2/3} - A^{2/3} \right]$$

За рентгеновите преходи това е  $10^{-6}$  от енергията на прехода. За тежки елементи енергията на  $K_\alpha$ -лъчите е около 100 keV и се очаква отместване от около  $10^1$  eV. Опитните данни показват предсказаната линейна зависимост от  $A^{2/3}$ .



За  $K_\alpha$ -мезорентгеновите линии (мюонните орбити са много близо до ядрото) ефектът е с около 4 порядъка по-голям.

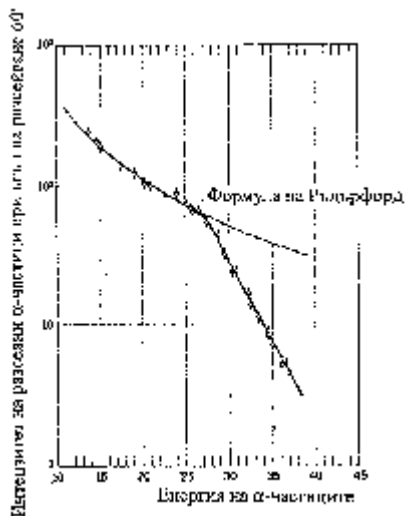
$K_\alpha$ -мезорентгеновите линии за три изотопа на Fe ( $A = 54, 56, 58$ ) (излъчват от нивата  $2p_{3/2}$  и  $2p_{1/2}$  към основното ниво  $1s_{1/2}$ )

## Разпределение на ядрената материя

### Опити по разсейване на $\alpha$ -частици

Ядреното взаимодействие не се въвлича, ако ядрата не са се приближили на разстояние, равно на сумата от двата радиуса - дотогава разсейването е чисто кулоново - ръдърфордово разсейване. Под определена стойност на енергията разсейването винаги става според формулата на Ръдърфорд: вероятността за разсейване под даден ъгъл е обратно пропорционална на кинетичната енергия на частицата. С увеличаване енергията на  $\alpha$ -частицата кулоновото отблъскване от ядрото се преодолява и ядрата се приближават на разстояние, на което започват да действат ядрените сили. При определена енергия на  $\alpha$ -частиците (определяща прицелния параметър) започва да се наблюдава отклонение от формулата на Ръдърфорд.

пример - разсейване от Pb: при ъгъл на разсейване  $60^\circ$  енергията, при която започва отклонението от чисто кулоновото взаимодействие, е около 27 MeV.



Прекратяване валидността на формулата на Ръдърфорд. От положението на точката на пречупване може да се определи радиуса на ядрото

*$\alpha$ -разпадането на тежките ядра.* - прозрачността на бариерата зависи от ядрения радиус  $R$ . Сравняването на изчислената и измерената константа на разпадане позволява да се определи  $R$ .

### Разсейване на бързи неутрони

Разсейването на неутрони и дифракцията на неутрони от ядра са методи, които дават радиуса на ядрената материя (при тяхното взаимодействие с ядрата участват само ядрените сили).

Изследва се разсейването на бързи неутрони, тъй като при тях  $\lambda \ll R$  и дифракционните ефекти са минимални. Мишена с дебелина  $l$  и  $N$  ядра/cm<sup>3</sup> се облъчва с поток неутрони  $\Phi_0$  [неутр/cm<sup>2</sup>s]. До слоя с дебелина  $dx$  в мишената, разположен на дълбочина  $x$  достига поток  $\Phi$ . Условието за линейност

$$d\Phi = -\Sigma\Phi dx$$

$\Sigma$  - коефициент на пропорционалност (дава относителното намаляване на потока за единица път - това е линейният коефициент на отслабване  $\Sigma = 1/\lambda$ ).  $\Sigma$  е *макроскопското сечение*

Потокът след преминаване на цялата дебелина  $\mathbf{I}$  на мишената се получава чрез интегриране

$$\Phi = \Phi_0 e^{-\Sigma \mathbf{I}}$$

Въвежда се *микроскопско ефективно сечение* - напречното сечение на ядрото

$$\sigma = \pi R^2 \quad \text{и тогава} \quad \Sigma = N\sigma$$

За микроскопското сечение

$$\sigma = \frac{1}{N} \ln \left( \frac{\Phi_0}{\Phi} \right)$$

$\mathbf{I}$  и  $N$  са известни, а  $\Phi_0$  и  $\Phi$  се измерват, а радиусът на ядрото се изчислява.

Резултат - измереното сечение е два пъти по-голямо (ядрото не е черно тяло). При по-ниски енергии определеният радиус от такива експерименти може да е завишен („раздуване” на ядрото), а при много високи енергии на неутроните ядрото може да стане „сиво”, т.е. частично проникваемо.

Опитите по разсейване на неутрони от ядра дават за радиуса величината

$$R = (1,3 - 1,4) \cdot 10^{-15} A^{1/3} \text{ m}$$

#### *Дифракция на неутрони от ядра*

Дифракцията от диск с диаметър  $2R$  е аналогична на дифракция от процеп със същия размер (вж фиг. III.11). Условието за получаване на първия дифракционен минимум е

$$R \sin\theta = \lambda/2,$$

при малки ъгли  $\theta$  получаваме  $\theta \sim \lambda/R$

- положението на първия дифракционен минимум е обратно пропорционално на радиуса на ядрото, т.е. колкото по-голямо е едно ядро, на толкова по-малък ъгъл ще се появи първият минимум в дифракционната картина.

